
Precision Measurements of
Radiative B Meson decay $B \rightarrow X_s \gamma$
with a Semi-inclusive Reconstruction Method

準包括的再構成法を用いた $B \rightarrow X_s \gamma$
の精密測定

齋藤 智之(素粒子実験)

2014/01/30 博士論文審査会

目次

- 1, $B \rightarrow X_s \gamma$ と測定手法
- 2, Belle 実験
- 3, MCサンプル作成
- 4, 信号再構成
- 5, 背景事象除去
- 6, 信号抽出手法
- 7, 系統誤差
- 8, 140 fb^{-1} のデータを用いた解析
- 9, 全データを用いた解析と結果
- 10, 結論

$b \rightarrow s\gamma$ 遷移

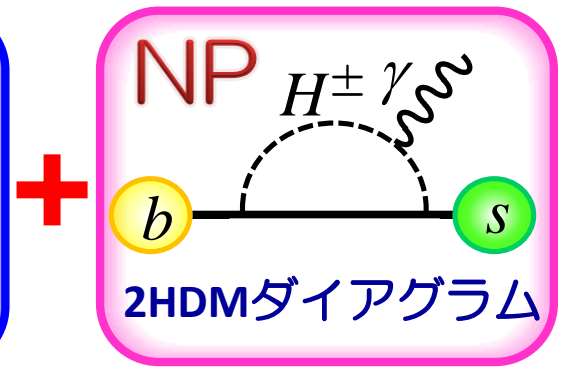
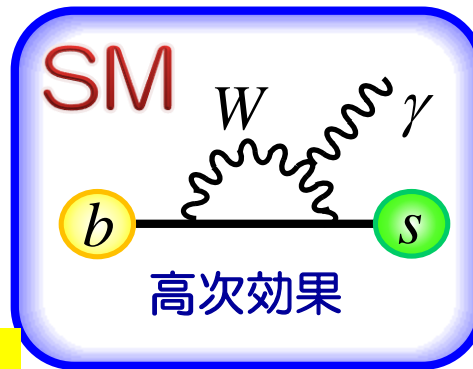
- LHCでの新物理の直接測定で何の兆候も見えない。
→ 間接測定がますます重要。

$b \rightarrow s\gamma$ 遷移

- ▶ 標準理論ではツリーレベルが禁止 (Flavor Changing Neutral Current) で、ループダイアグラムで生じる。
- ▶ 新物理が予言する重い新粒子がループ中に現れることが期待。
- ▶ 理論計算が精度よくでき新物理探索に有用。

	第1世代	第2世代	第3世代
$+\frac{2}{3}e$	 u アップ	 c チャーム	 t トップ
$-\frac{1}{3}e$	 d ダウン	 s ストレンジ	 b ボトム

ループ遷移

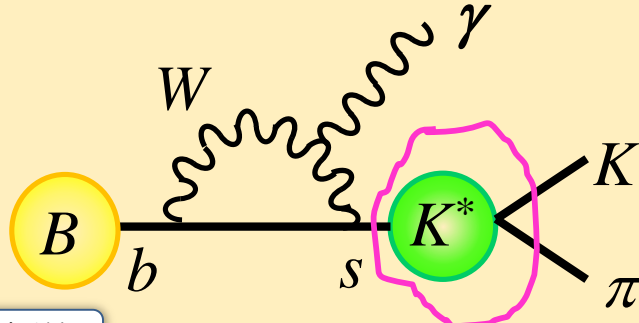


崩壊分岐比測定手法 (Inclusive崩壊)

$b \rightarrow s \gamma$ の崩壊分岐比測定

Exclusive 崩壊測定

崩壊モードを特定して観測



特徴

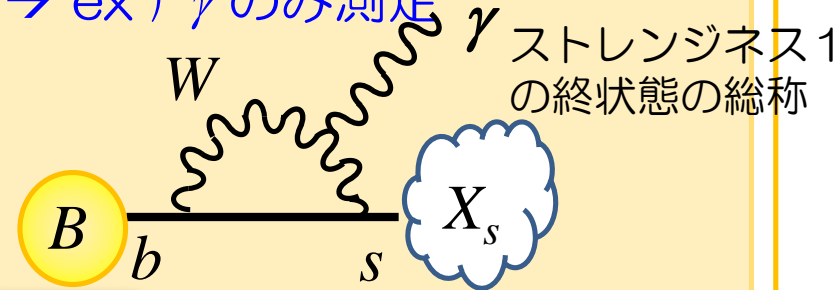
- 実験的には比較的易しい
- form factorの不定性大で理論誤差大 → **新物理の感度低**

理論エラー大

Inclusive 崩壊測定

多くの終状態をまとめて観測

→ ex) γ のみ測定



特徴

- 実験的に大変
- 崩壊モデルの不定性を抑制可能で理論の誤差小 → **新物理に感度高**

新物理探索には **Inclusive測定** が有用

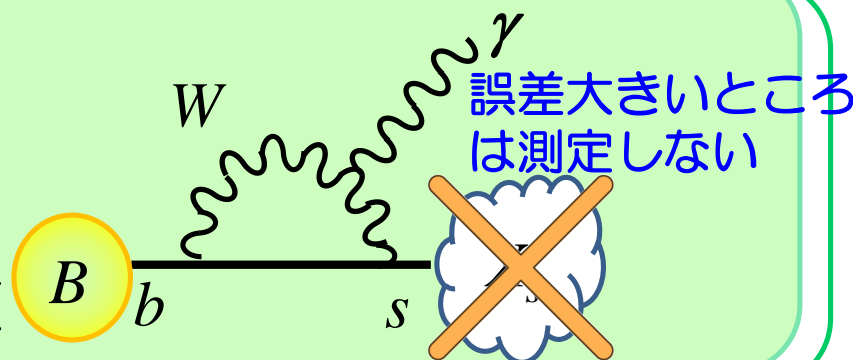
崩壊分岐比測定手法 (Semi-inclusive手法)

- Inclusive法では X_s の崩壊モデルの不定性を抑制するための対策によって手法が2つある。

Full-inclusive 再構成

(γ のエネルギーのみ測定)

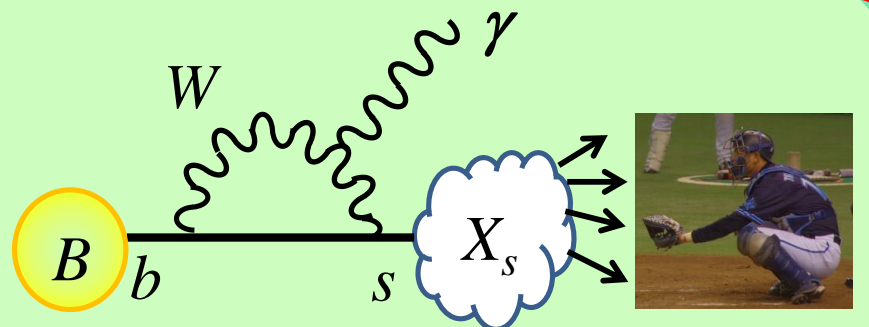
- 理論の不定性非常に小さい
- 背景事象の除去が困難
- 検出器、背景事象の精密な理解必須



Semi-inclusive再構成

(X_s を多数の崩壊モードから再構成)

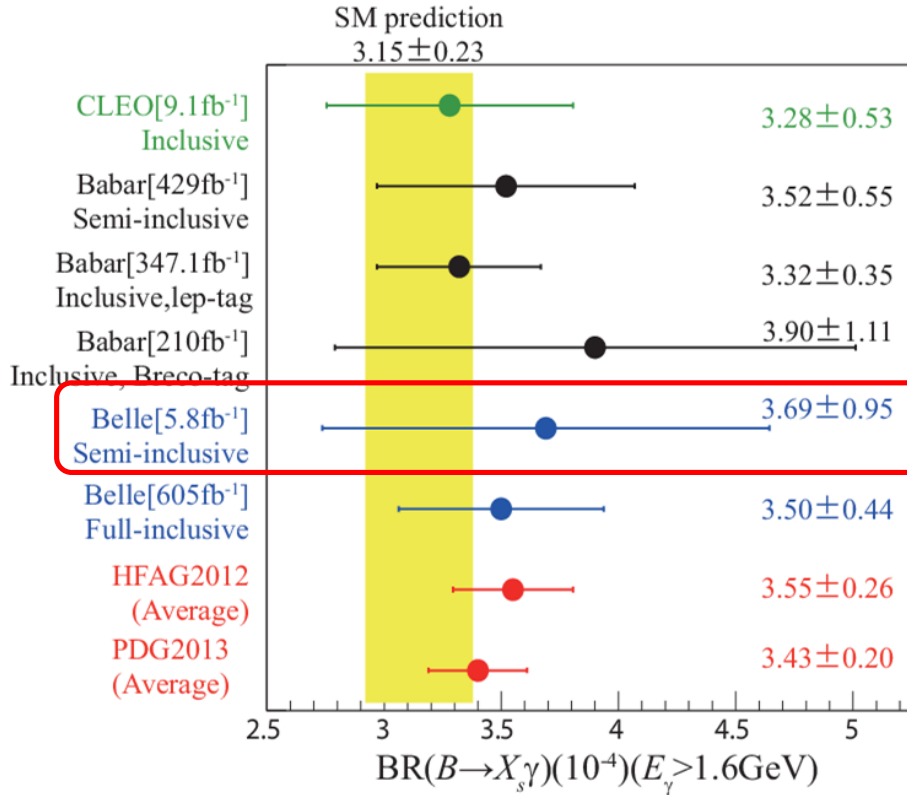
- 理論の不定性小さい
- 実際に B を再構成するので背景事象の抑制可



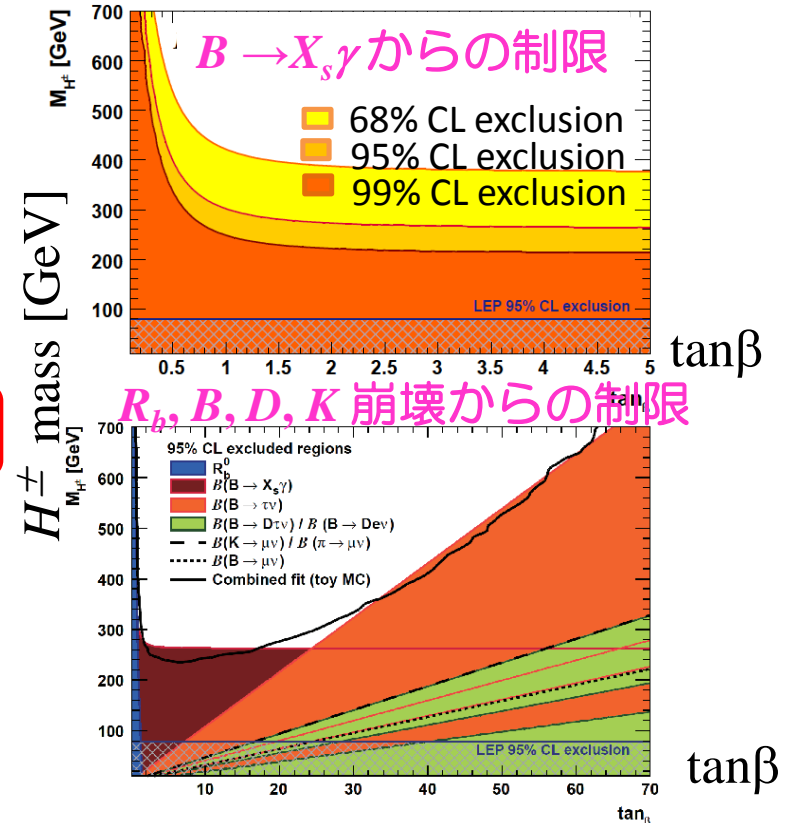
どんなモードも全て測定
= X_s が何に崩壊してようが関係ない

$B \rightarrow X_s \gamma$ 崩壊分岐比の現状

崩壊分岐比測定結果



荷電ヒッグスへの制限(2HDM)



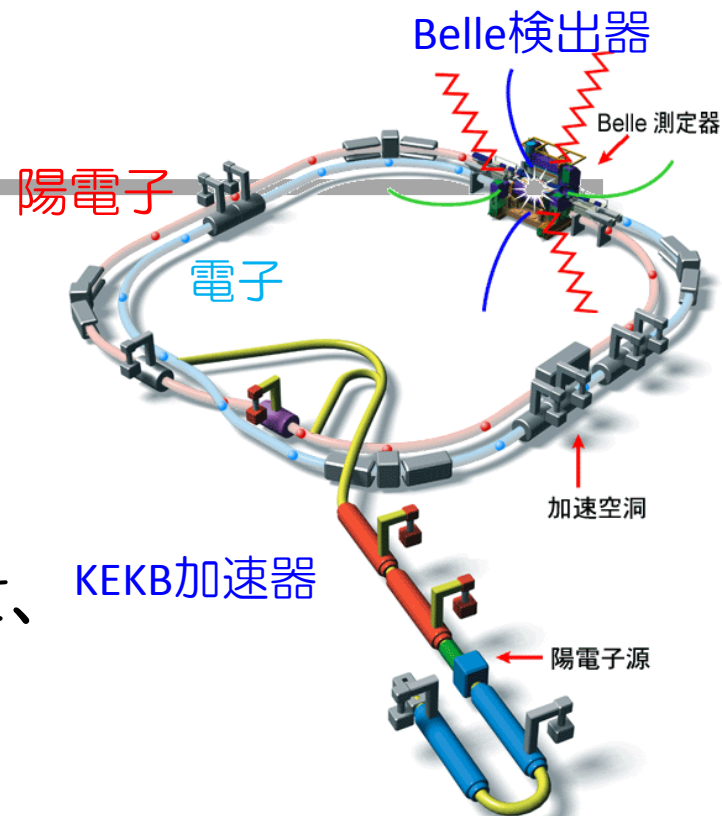
- 誤差の範囲で標準理論と一致。 --> 新物理モデルに強い制限
- さらに精度を上げた測定をし、新物理を検証する。
- Belle実験でSemi-inclusive手法を用いた研究を行う。

Belle実験

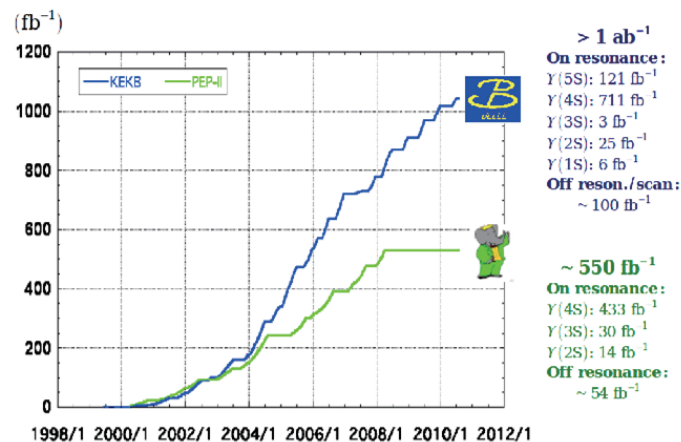
Belle 実験

目的： B 中間子を大量に生成し、崩壊過程を精密観測

- ▶ 電子 8GeV、陽電子 3.5GeVを衝突させ、 $Y(4S)$ 共鳴で BB ペアを生成。
- ▶ ピークルミノシティ： $2.1 \times 10^{34} \text{cm}^{-2}\text{s}^{-1}$
- ▶ 最終積分ルミノシティ： $\sim 1000 \text{fb}^{-1}$
(本解析では $Y(4S)$ の 711fb^{-1} を使用。)
- ▶ 1999年6月～2010年6月データ取得
- ▶ 現在も最終データを用いた解析が行われている。



Integrated luminosity of B factories



Belle 検出器

特徴：高い運動量測定精度 & 優れた粒子識別

- 崩壊点検出器 ($\sigma \sim 75 \mu\text{m}$)

- 半導体崩壊点検出器

- 飛跡検出器 ($\sigma/p_t \sim 0.5\%$)

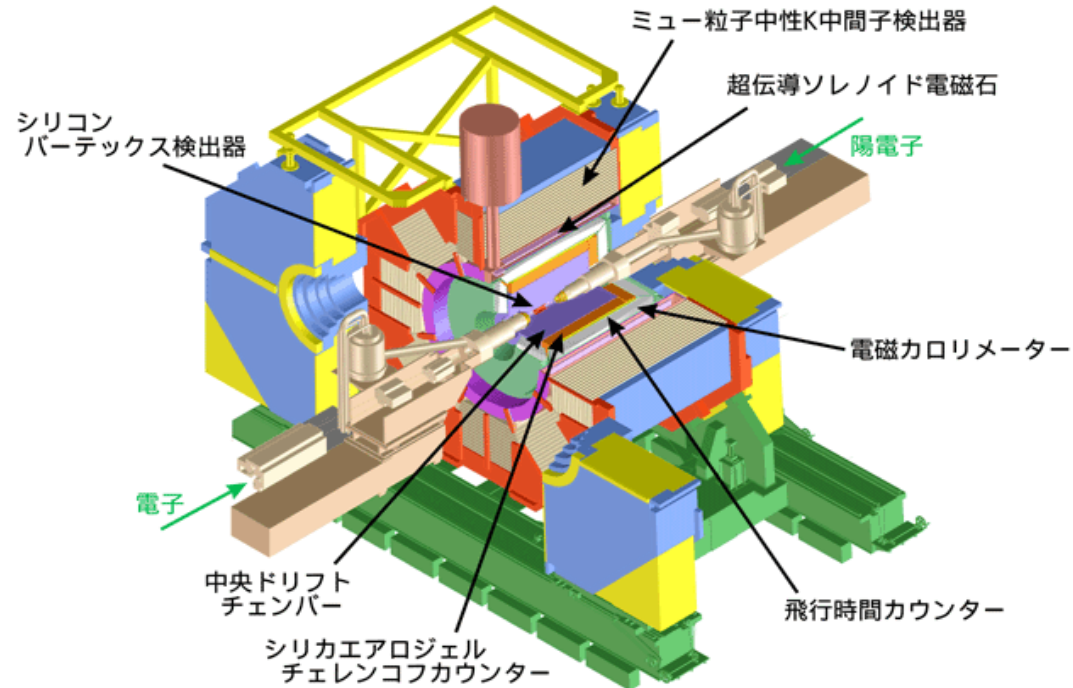
- ドリフトチェンバー (CDC)
- 半導体崩壊点検出器

- カロリメータ ($\sigma/E \sim 1.6\%$)

- CsI電磁カロリメータ

- 粒子識別

- K^\pm/π^\pm 識別：CDC (dE/dx), チェレンコフカウンタ, 飛行時間測定器
→ 88%のK 識別、8.5%の π の誤識別
- 電子 識別：CDCとCsIカロリメータで測定したE/p 等 → 92%の識別
- K_L/μ 識別：最外層の鉄とRPCを積層した検出器 → 90%の μ 識別



MC サンプル作成

$B \rightarrow X_s \gamma$ のMCサンプル (M_{X_s} 分布)

- γ のエネルギーと X_s の質量分布はフェルミ運動等の影響で理解が難しい。

▶ $M_{X_s} < 1.15 \text{ GeV}/c^2$

… K^* 共鳴支配的(よく理解されている)

▶ $M_{X_s} > 1.15 \text{ GeV}/c^2$

… 様々な終状態(よく理解されていない)

• M_{X_s} 分布の形

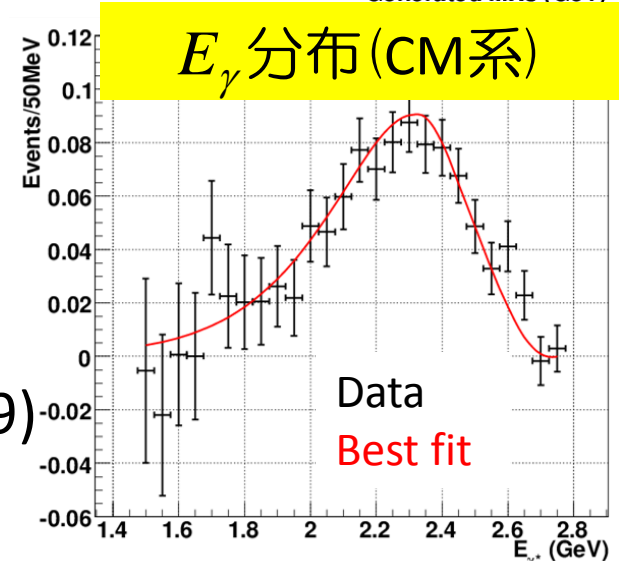
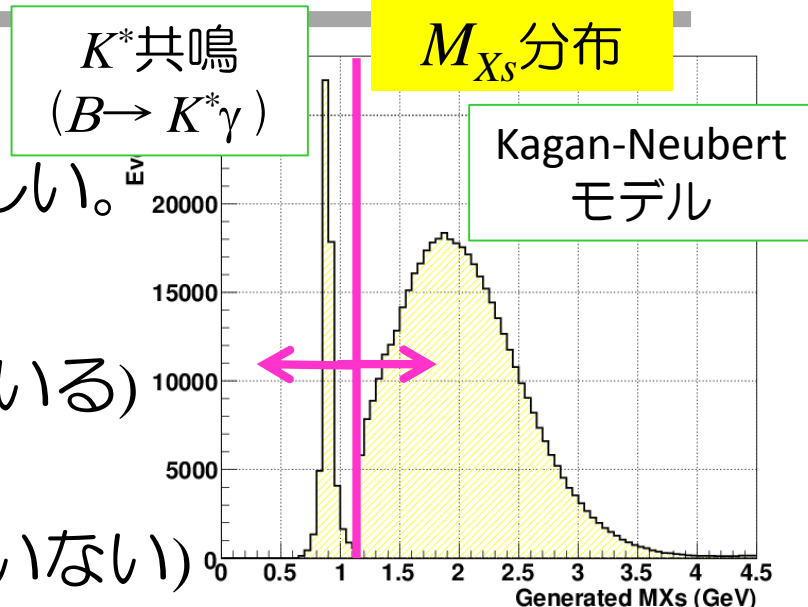
- Kagan-Neubertモデルを使用

- next-to-leading order

- 2つの入力変数 (m_b , μ_π^2)

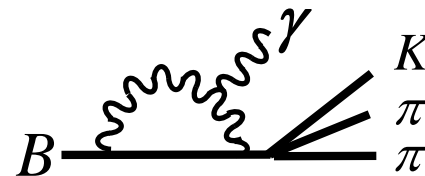
- Belleの以前の結果 (Full inclusive, 2009)

とBest fitを使用



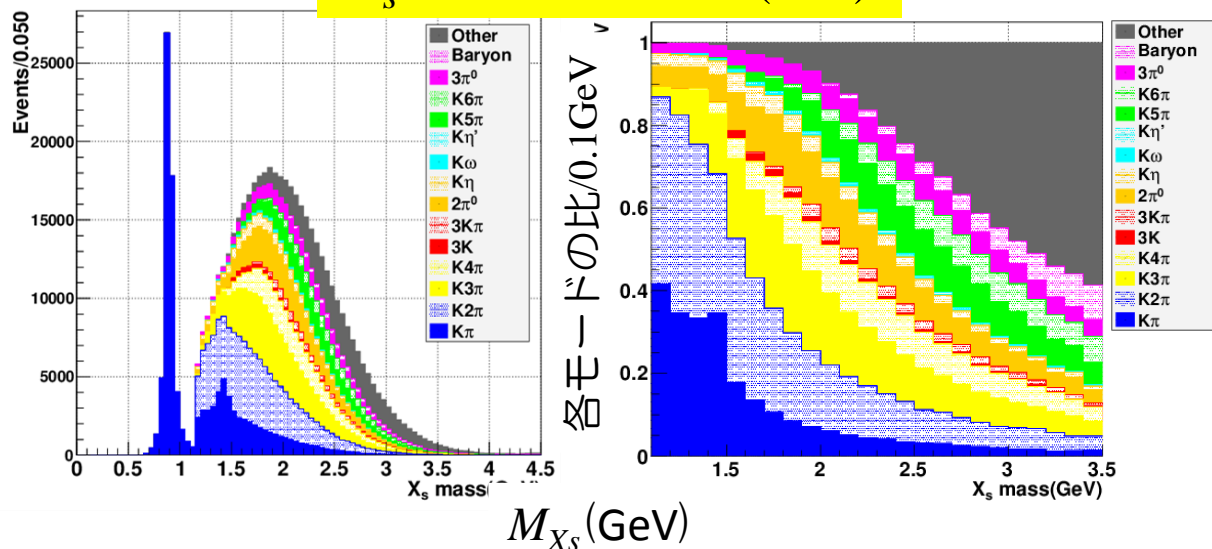
$B \rightarrow X_s \gamma$ MCサンプル(ハドロン化モデル)

- $B \rightarrow X_s \gamma$ の終状態：クォークのまま出てこれないため、ハドロンを形成(ハドロン化)



- ▶ Pythiaで生成

X_s 終状態の内訳(MC)



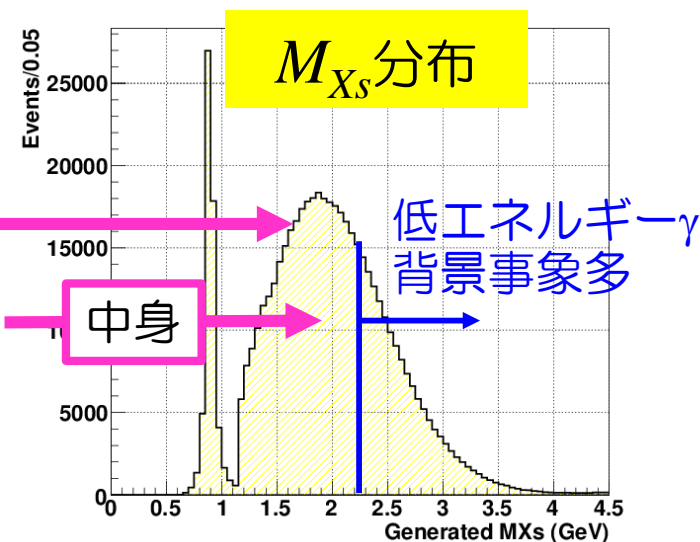
X_s 終状態内訳(%)(MC)	
$K_{(s)}\pi$	15.1
$K_{(s)}2\pi$	11.6
$K_{(s)}3\pi$	9.0
$K_{(s)}4\pi$	5.1
$K_{(s)}2\pi^0(\pi, 2\pi)$	5.9
$K_{(s)}\eta(\pi, 2\pi)(\eta \rightarrow \gamma\gamma)$	2.2
$3K$	1.3
$K\omega(\omega \rightarrow \pi^0\gamma)$	0.7
$K\eta'(\eta' \rightarrow \rho^0\gamma)$	0.5
バリオン	1.6
K_L モード	27.2
その他	19.8

- ▶ 最終結果はハドロン化モデルに依存するため、**実データを用いた較正が必要**。

本研究のポイント

● 本研究の特徴

- ▶ 統計量は十分 (生成数: 5×10^5 事象)
- ▶ 系統誤差が支配的: X_s の崩壊モデル
 - M_{X_s} 分布モデルの誤差
 - X_s 崩壊のハドロン化モデルの誤差



系統誤差抑制のためには、

- MCのモデルをデータを使い較正し誤差の抑制が必要
- 信号数少 & 背景事象多の高 M_{X_s} 領域で高いSignificanceを得ることが重要

信号再構成

粒子選択(高エネルギー γ)

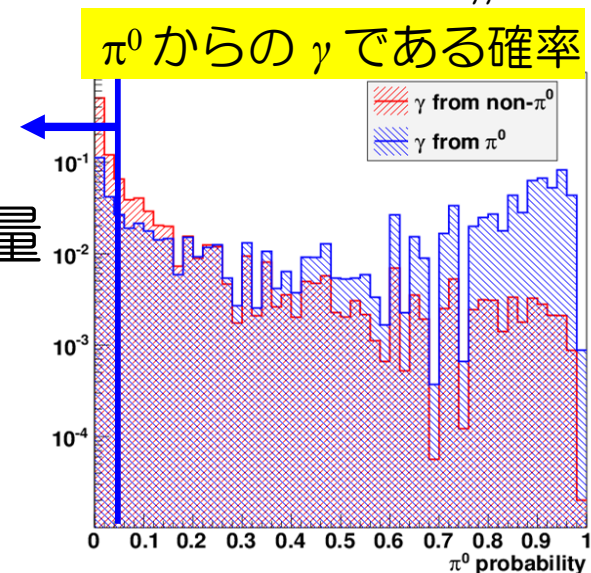
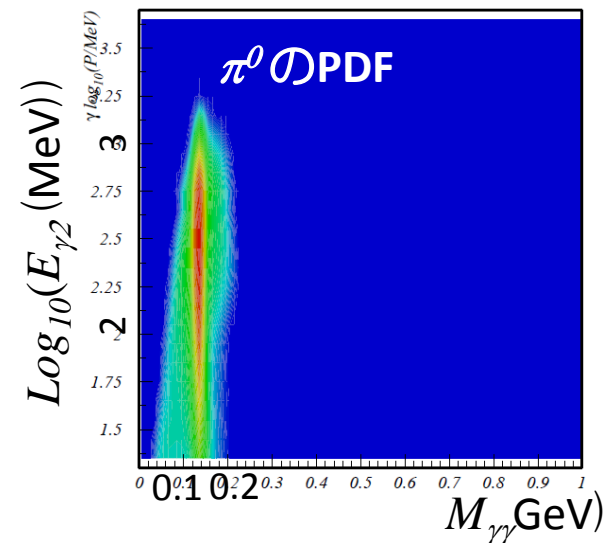
● γ 信号の選択

- ▶ 高エネルギー γ は特徴的信号
- ▶ $1.8 < E_\gamma < 3.4$ GeV (CM系)
- ▶ バレル領域のみ ($33 < \theta < 132^\circ$)
- ▶ シャワーの形
- ▶ π^0/η veto

- 主な背景事象 $\pi^0(\eta)$ からの γ を排除
- 2次元PDFで $\pi^0(\eta)$ からの γ である

確率を定義

- 信号候補 γ_1 とその他の γ_2 を組んだ質量
- γ_2 のエネルギー
- 75%の信号を保持し、
 π^0 からの γ 背景事象を20%に低減



粒子選択 ($K^\pm, \pi^\pm, K_s, \pi^0, \eta$)

● 荷電粒子 (K^\pm, π^\pm) 選択

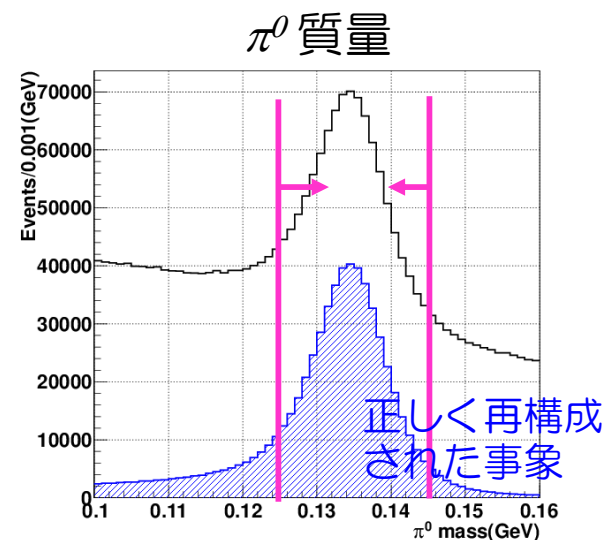
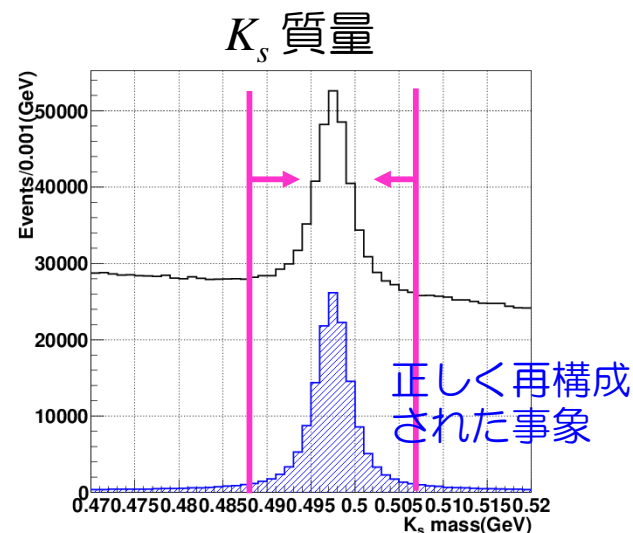
- ▶ 衝突点(IP)起源
- ▶ $p > 0.1 \text{ GeV}/c$
- ▶ K/π 識別

● K_s ($\rightarrow \pi^+\pi^-$) 再構成

- ▶ 多変数解析(ニューラルネットワーク)
 - K_s の崩壊点とIPの距離、
2つの飛跡の間の距離、等
 - 効率：87%

● π^0, η ($\rightarrow \gamma\gamma$) 再構成

- ▶ $E_\gamma^{\pi^0(\eta)} > 50 (100) \text{ MeV}$
- ▶ $125(515) < M_{\gamma\gamma}^{\pi^0(\eta)} < 145 (570) \text{ MeV}/c^2$
- ▶ $\pi^0: \cos\theta_{\gamma\gamma} > 0.4, \eta: \cos\theta_{\text{hel}} < 0.8$



X_s 再構成 (Semi-inclusive 法)

● **Semi-inclusive 法** : X_s を K, K_s, π, π^0, η 用いて再構成

▶ 理想は全ての終状態を再構成。

しかし、

- 分岐比小
- 再構成効率小
- 背景事象多

により困難。

▶ **38 終状態**を再構成

- X_s の終状態の **56 %** をカバー。
- K_s を含むモードと同数の K_L モードを含めると **69 %**。

再構成した終状態				
$K\pi$	$K\pi$	$K_s\pi$	$K\pi^0$	$K_s\pi^0$
$K2\pi$	$K\pi\pi$	$K_s\pi\pi$	$K\pi\pi^0$	$K_s\pi\pi^0$
$K3\pi$	$K\pi\pi\pi$	$K_s\pi\pi\pi$	$K\pi\pi\pi^0$	$K_s\pi\pi\pi^0$
$K4\pi$	$K\pi\pi\pi\pi$	$K_s\pi\pi\pi\pi$	$K\pi\pi\pi\pi^0$	$K_s\pi\pi\pi\pi^0$
$3K$	KKK	KKK_s		
	$KKK\pi$	$KKK_s\pi$	$KKK\pi^0$	$KKK_s\pi^0$
$K\eta$	$K\eta$	$K_s\eta$	$K\eta\pi$	$K_s\eta\pi$
	$K\eta\pi^0$	$K_s\eta\pi^0$	$K\eta2\pi$	$K_s\eta2\pi$
	$K\eta\pi\pi^0$	$K_s\eta\pi\pi^0$		
$2\pi^0$	$K\pi^0\pi^0$	$K_s\pi^0\pi^0$	$K\pi\pi^0\pi^0$	$K_s\pi\pi^0\pi^0$
	$K\pi\pi\pi^0\pi^0$	$K_s\pi\pi\pi^0\pi^0$		

B 中間子再構成

● B 中間子を γ と X_s から再構成

- ▶ 2つの独立の変数で選択

Beam Constrained Mass (M_{bc})

$$M_{bc} \equiv \sqrt{(E_{beam}^* / c^2)^2 - (|\vec{p}_B^*| / c)^2}$$

- ビームエネルギーとBの運動量で得たBの質量
- $M_{bc} > 5.24 \text{ GeV}/c^2$

Energy Difference (ΔE)

$$\Delta E \equiv E_B^* - E_{Beam}^*$$

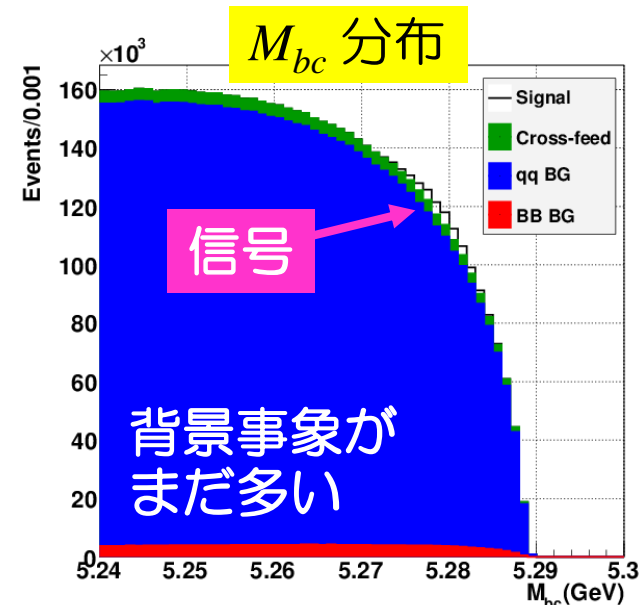
- ビームとBのエネルギー差
- $-0.15 < \Delta E < 0.08 \text{ GeV}$
- $-0.10 < \Delta E < 0.05 \text{ GeV}$ ($2\pi^0, \eta\pi^0$)

- ▶ 最終的には M_{bc} で信号を抽出
- ▶ 強力な背景事象の除去が必要

再構成後の事象数

($M_{bc} > 5.27 \text{ GeV}, M_{\nu} < 2.8 \text{ GeV}$)

	Event selection
Signal	30356
Cross-feed	90940
$q\bar{q}$ BG	2545069
$B\bar{B}$ BG	231770
Significance	17.8



背景事象の除去法

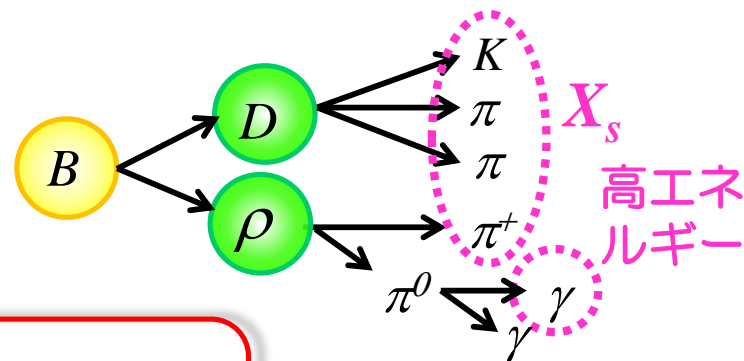
主な背景事象

- ▶ B 中間子が D 中間子にいく崩壊
- ▶ $e^+e^- \rightarrow qq$ 事象

D 中間子崩壊由来の背景事象抑制：D veto

● D 中間子(+ π^0)を含む崩壊からの背景事象が多く混入。

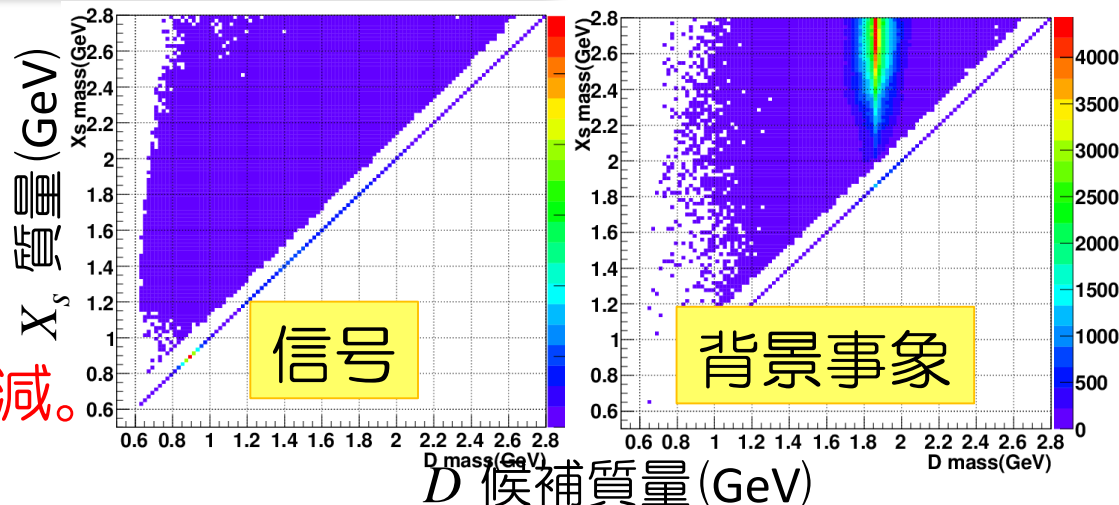
- ▶ 主に $B \rightarrow D\rho$ (分岐比が 10^2 倍以上)
- ▶ 信号領域にピークを作るため、信号と間違える。



D veto

X_s の再構成に使用した粒子を組み合わせ、 D の質量に近い事象を排除。

- ▶ $M_{X_s} > 2.0$ GeVで D の質量 (1835-1895MeV) を除去。
→ 信号を90%保持し、 D の背景事象を23%に低減。



qq 背景事象の抑制(多変数解析)

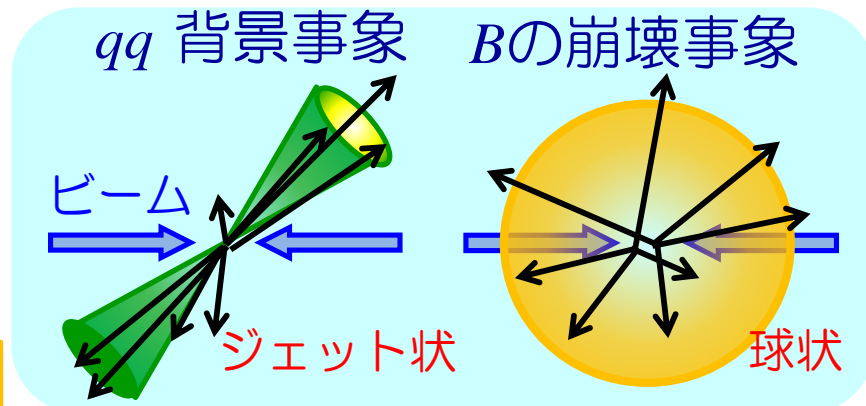
● 最大の背景事象は軽いクォークjet事象 ($e^+e^- \rightarrow qq$ ($q=u, d, c, s$))

▶ ニューラルネット (NeuroBayes) による多変数解析

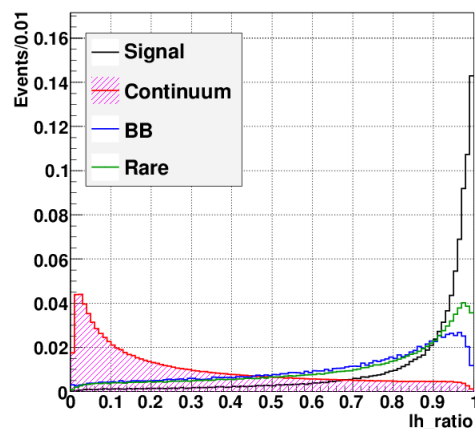
--> 入力変数の相関を考慮し、分離能力を最適化。

入力変数：12個(主にイベント形状)

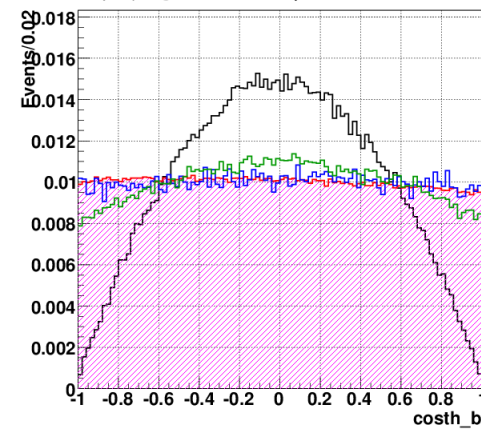
- Fisher discriminant (ルジャンドル多項式を用いて評価したイベント形状変数)
- B 中間子の飛行方向
- Thrust
- Sphericity
- Aplanarity
- 逆側の B のフレーバー情報
- ΔE のLikelihood



Fisher discriminant



B 中間子の飛行方向



qq 背景事象の抑制(トレーニングとカットの最適化)

● ニューラルネットのトレーニング

▶ 系統誤差抑制のためには高 M_{X_S} 領域でのSignificanceの向上が必要。

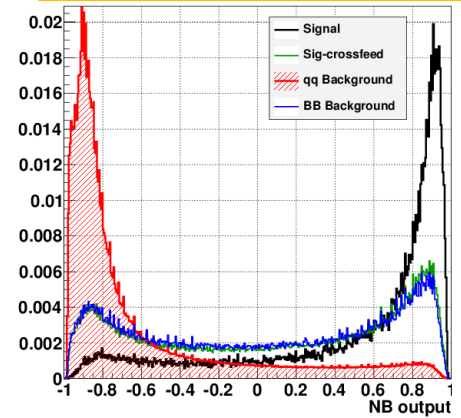
--> $2.2 < M_{X_S} < 2.8 \text{ GeV}/c^2$ の事象のみでトレーニングを行い、出力をこの領域で最適化。

● カットの最適化

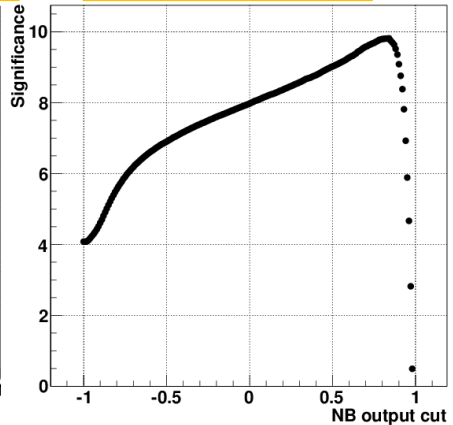
▶ 系統誤差抑制のため $2.2 < M_{X_S} < 2.8 \text{ GeV}/c^2$ でのSignificanceで最適化。

--> 信号を52%保持し、qq背景事象を2%に低減。

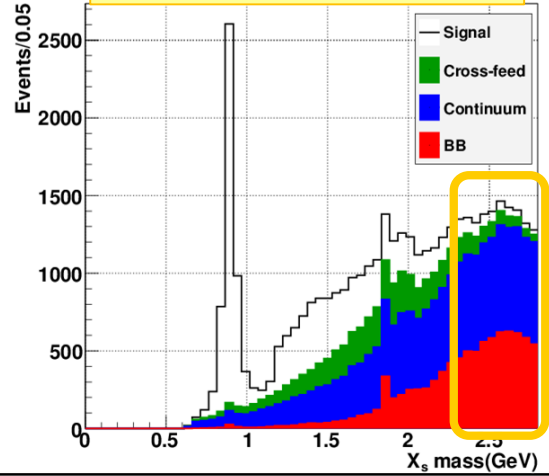
ニューラルネットの出力



カット値とSignificance



M_{X_S} 分布(カット後)



$2.2 < M_{X_S} < 2.8$
測定が困難な領域

B 中間子の最適候補選択と背景事象除去結果

● B 中間子の最適候補選択(Cross-feed 背景事象の抑制)

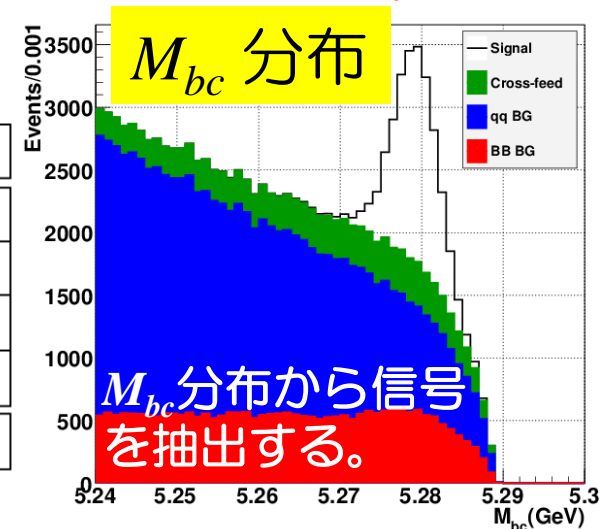
- ▶ 38 終状態を同時に再構成しているため、1イベント当たり多くの B 中間子候補(Cross-feed)が存在。
- ▶ ニューラルネット出力が最も1に近い事象を選択
--> 信号を85%保持し、Cross-feedを42%に低減。

● 背景事象除去結果

- ▶ Significanceが18→58に向上。(2<M_{Xs}<2.8 GeV/c²: 4→10)

背景事象除去後の事象数((M_{bc}>5.27 GeV, M_{Xs}<2.8 GeV)

	Event selection	D veto	q \bar{q} suppression	BCS
Signal	30356	27137	14068	11824
Cross-feed	90940	64938	13096	5563
q \bar{q} BG	2545069	1837720	42195	15226
BB BG	231770	118749	20023	8976
Significance	17.8	19.0	47.1	58.0



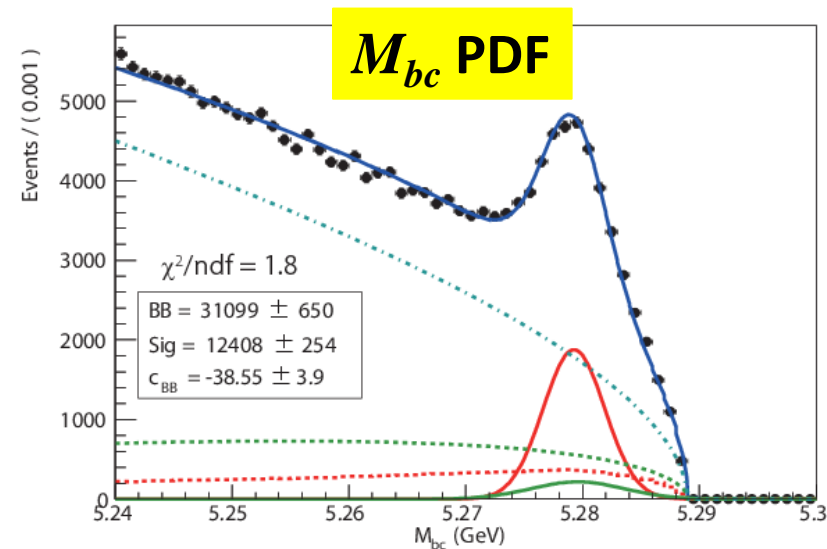
信号抽出方法

信号抽出方法

● M_{bc} 分布をフィットして信号を抽出

- ▶ $M_{X_S} < 2.8 \text{ GeV}/c^2$ ($M_{X_S} > 2.8 \text{ GeV}/c^2$ は信号数小、BG多で厳しい)
- ▶ Unbinned Maximum Likelihood Fit
- ▶ 5つのPDFを組み合わせる。
 - Signal PDF(赤実線)
 - Signal Cross-feed PDF : 信号事象からの背景事象(赤点線)
 - Peaking BG PDF : 信号領域にピークを持つ背景事象(緑実線)
 - Non-peaking BG PDF : ピークを持たないB崩壊からの背景事象(緑点線)
 - qq 背景事象 PDF(水色)
- ▶ PDFはできる限りデータをもとに作成。

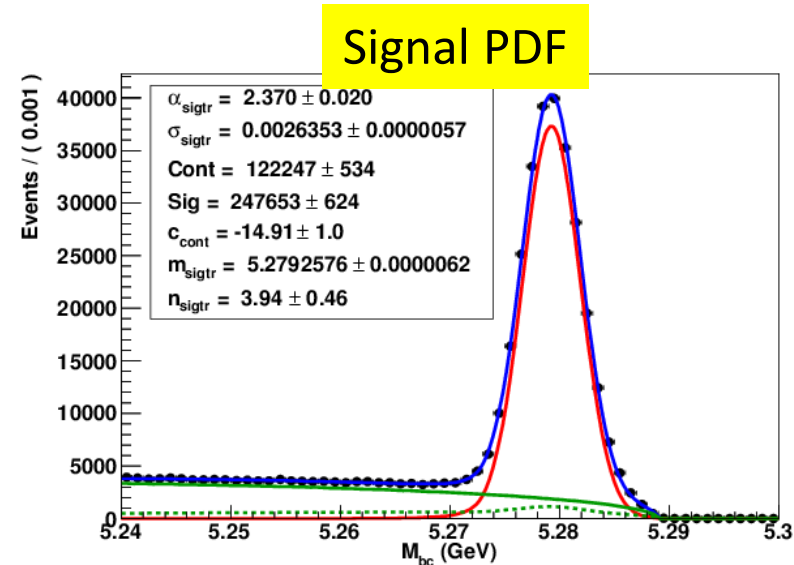
次ページから各PDFを説明する。



SignalとCross-feedのPDF

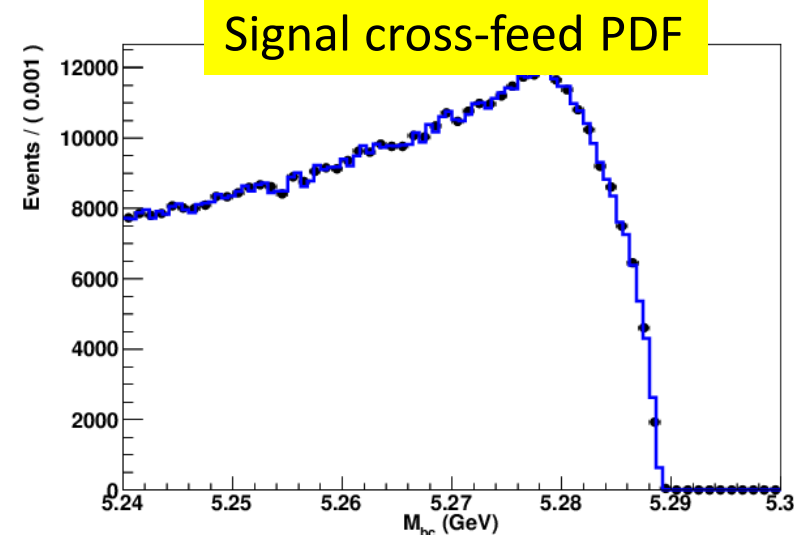
● Signal PDF

- ▶ $B \rightarrow D\pi$ のデータから得る。
- ▶ Crystal Ball 関数
- ▶ ただし下側のテイルはMCで補正。
- ▶ 信号抽出の際は形は固定し、数を動かす。



● Signal cross-feed PDF

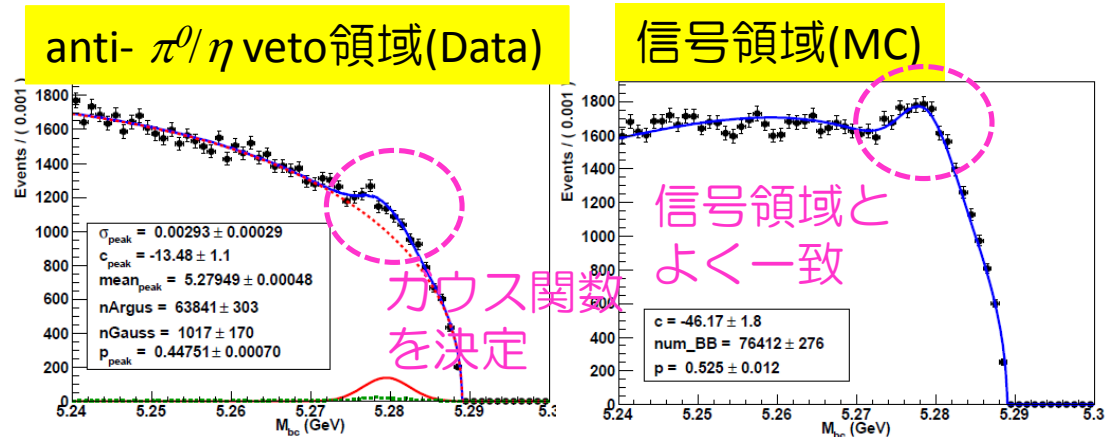
- ▶ ヒストグラムPDF
- ▶ 形はMCで固定。
- ▶ 数は信号数と比例させて、動かす。



Peaking, Non-peaking, qq BG PDF

● Peaking BG PDF

- ▶ ガウス関数
- ▶ π^0/η vetoで排除されたデータを用いて数と形を固定。

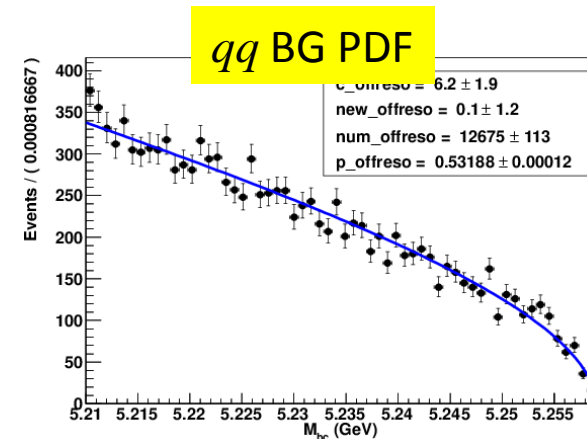


● Non-peaking BG PDF

- ▶ Argus関数
- ▶ 形と数いずれも動かす。

● qq BG PDF

- ▶ 傾きパラメータを修正したArgus関数
- ▶ $Y(4S)$ 共鳴から60MeV下のデータで形と数を固定。



系統誤差

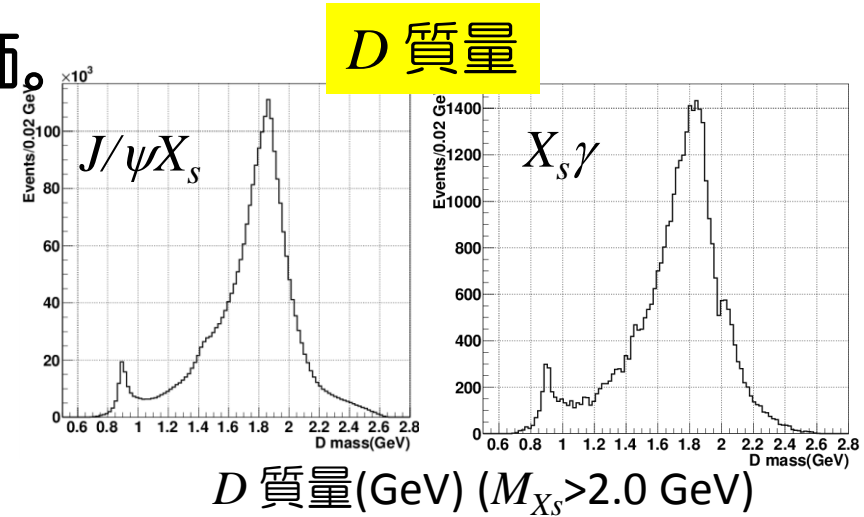
- データで信号領域を測定する前に系統誤差を見積もる。
 - ▶ 背景事象除去の系統誤差
 - D veto
 - qq 背景事象除去
 - ▶ M_{Xs} 分布の形の系統誤差

D vetoの系統誤差

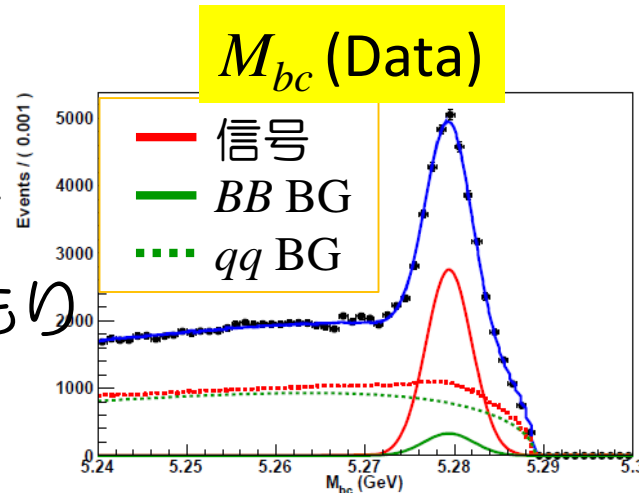
● D vetoの系統誤差はコントロールサンプル

$B \rightarrow J/\psi X_s, J/\psi \rightarrow ll$ ($l=e, \mu$) で評価。

- ▶ J/ψ からのレプトン1つを γ 、他方を X_s の子供の π とみなす。
- ▶ $J/\psi X_s$ は信号と同じように D の質量領域に幅の広いピークを持つ。



- ▶ コントロールサンプルで MC とデータの差を見積もり **系統誤差を0.61%** とする。



	効率
MC	91.5 %
DATA	91.0 %
Syst.	0.61 %

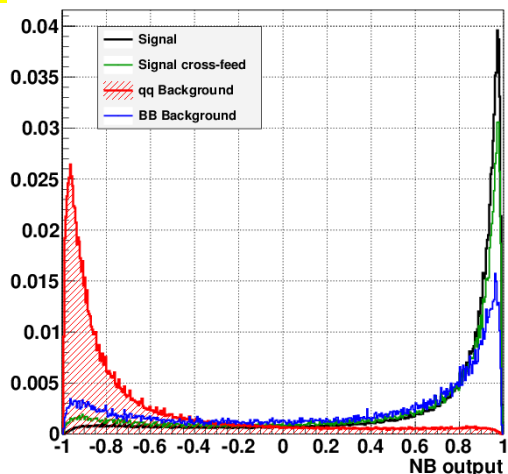
qq 背景事象抑制の系統誤差

● qq 背景事象抑制の系統誤差はコントロールサンプル

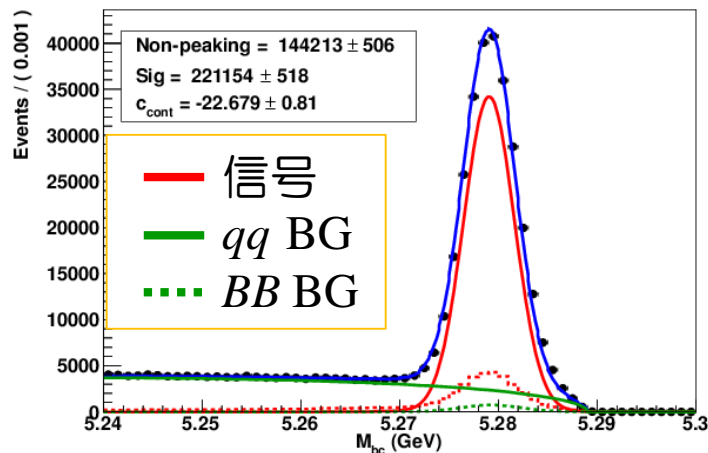
$B \rightarrow D\pi$ で評価。

- ▶ クリーンかつ十分な量のサンプル。
- ▶ B からの π を信号の γ 、 D を X_s とみなす。

ニューラルネットの出力



M_{bc} (Data)



	効率
MC	91.2 %
DATA	88.4 %
Syst.	3.0 %

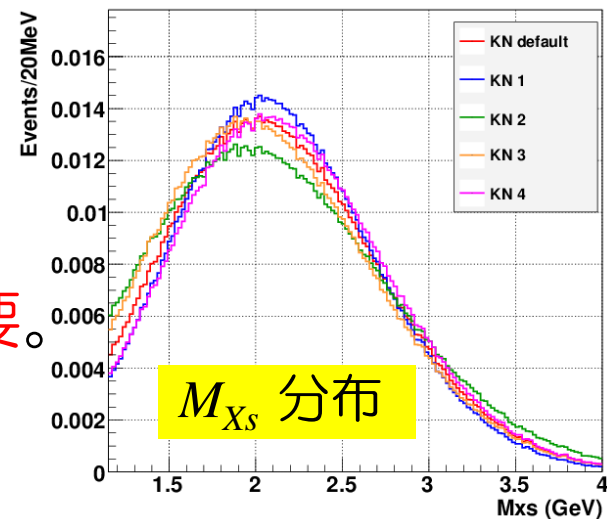
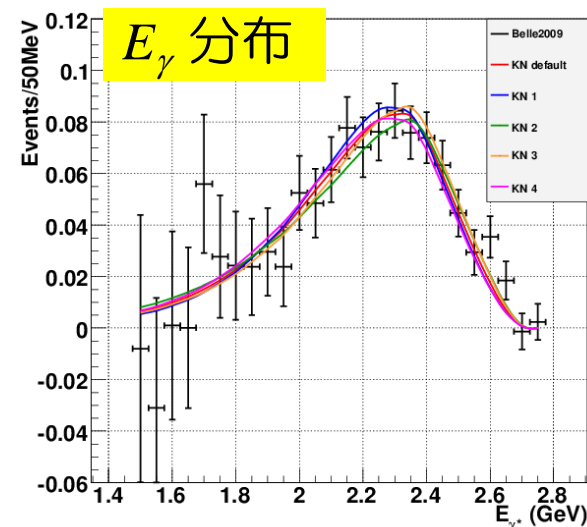
- ▶ コントロールサンプルでMCとデータの効率差から
3.0%の系統誤差とする。

M_{X_S} 分布の形の系統誤差

- MCの M_{X_S} 分布(>1.15GeV)の形はKagan-Neubertモデルで生成。
 - ▶ Belle (Full-inclusive, 2009)の結果とBest fitのパラメータを使用。
 - > これらを動かして結果の差を系統誤差とする。

系統誤差 : (+3.3 -8.0) %

- ▶ 結果は分布の形に敏感。
- ▶ 避けるためには形の情報を使わず、 M_{X_S} を細かく区切った信号数の評価が必要。
 - データを使って検討する。



ここまでの系統誤差まとめ

Source		
Number of $B\bar{B}$		± 1.37
Detector response	γ detection	± 2.00
	X_s particles(K, K_s, π, π^0, η) reconstruction	± 1.29
	K/π separation	± 1.79
Background rejection	π^0 veto	± 0.30
	η veto	± 0.60
	D veto	± 0.61
	$q\bar{q}$ suppression	± 3.04
	Best candidate selection	± 1.16
M_{bc} PDF	Signal PDF	
	Signal Cross-feed PDF	
	Peaking Background PDF	
	Non-peaking part from $q\bar{q}$ background	
Signal modeling	M_{X_s} shape	$+3.26 -7.96$
	Hadronization	
	$K^* - X_s$ transition	
	Extrapolation to $E_\gamma^* > 1.6$ GeV	
Total		

信号領域のデータ
を用いて評価

信号領域のデータ
を用いて評価

最大の誤差
やはりこれを
抑制すべき

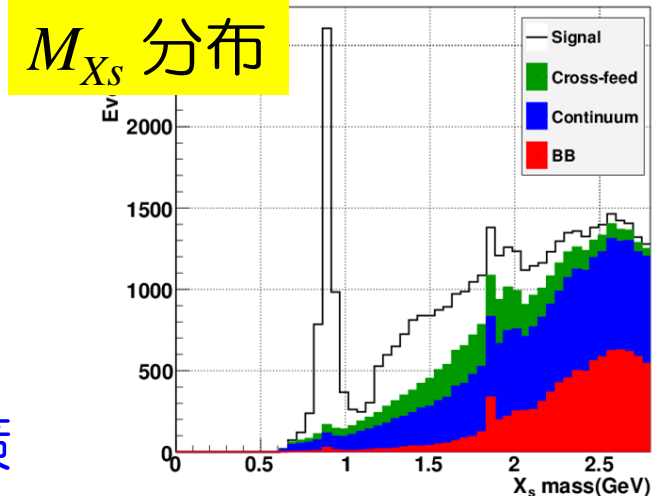
140 fb⁻¹のデータ解析

140 fb⁻¹(全データの1/5)は以前のCPの研究ですでに解析済み。

- MCのハドロン化モデルの較正が可能か検証
- 2つの崩壊分岐比算出法による結果を比較する。

- ▶ M_{X_s} 領域全体 ($M_{X_s} < 2.8 \text{ GeV}/c^2$) で評価
- ▶ M_{X_s} を0.1 GeV/c²刻みに評価

← M_{X_s} 分布の大きな系統誤差対策



ハドロン化モデルの較正

- データとMCの各崩壊モードを比をチェックし、較正する。
 - ▶ MCの $K\pi$ 、 $K2\pi$ の比が大きくなりすぎている。
 - ▶ Pythiaのハドロン化モデルのパラメータを調節し較正。
 - ▶ 較正結果： $\chi^2 = 185 \rightarrow 22$ へ改善。較正は成功！

各終状態の比(%)	Fraction in Data	較正		データとの差 比の誤差
		Fraction in MC before calibration	Fraction in MC after calibration	
$K\pi$ without π^0	5.06 ± 0.89	11.7 (+7.5)	4.76 (-0.3)	
$K\pi$ with π^0	2.53 ± 0.44	6.16 (+8.2)	2.44 (+0.5)	
$K2\pi$ without π^0	17.4 ± 1.37	13.6 (-2.8)	14.7 (-2.0)	
$K2\pi$ with π^0	31.6 ± 2.47	16.0 (-6.3)	22.4 (-3.7)	
$K3\pi$ without π^0	7.00 ± 1.62	5.66 (-0.8)	5.98 (-0.6)	
$K3\pi$ with π^0	15.2 ± 4.01	15.5 (+0.1)	21.5 (+1.6)	
$K4\pi$	11.6 ± 3.80	10.5 (-0.3)	9.36 (-0.6)	
$K2\pi^0$ with at most two π	2.91 ± 9.70	7.72 (+0.5)	7.72 (+0.5)	
$K\eta$ with at most two π	4.68 ± 1.59	4.84 (+0.1)	4.90 (+0.1)	
$3K$ with at most one π	1.93 ± 0.61	2.63 (-0.7)	1.76 (-1.3)	

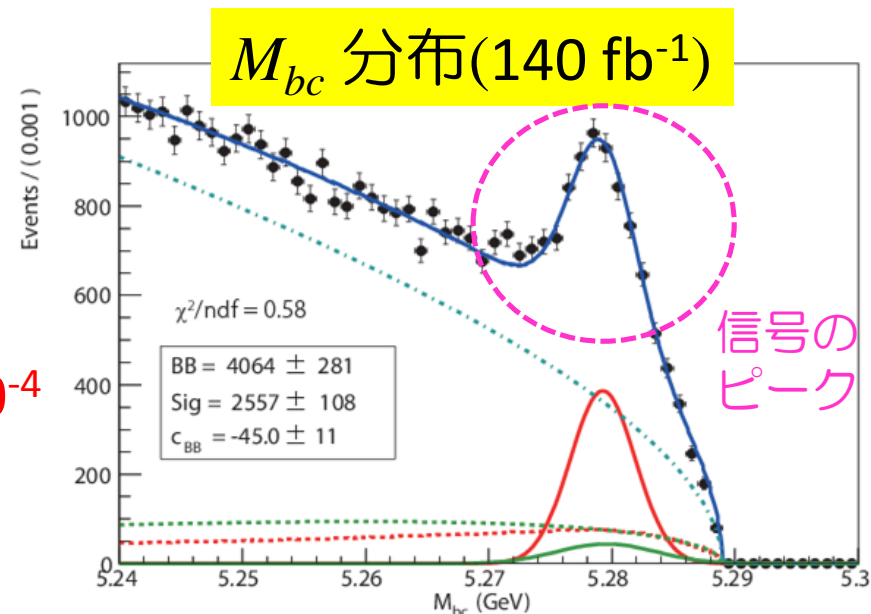
崩壊分岐比算出手法： M_{X_s} 領域全体で評価

- M_{X_s} 領域全体で評価： $M_{X_s} < 2.8 \text{ GeV}/c^2$ の事象をまとめてフィットし、崩壊分岐比を算出。
 - ▶ 信号数： 2557 ± 107
 - ▶ $\text{BR}(B \rightarrow X_s \gamma) = (\text{信号数}) / (B\text{中間子の数} \times \text{再構成効率})$
 $= (3.69 \pm 0.16) \times 10^{-4}$ ($M_{X_s} < 2.8 \text{ GeV}$ 、統計誤差)

▶ 一般的に、 $\text{BR}(B \rightarrow X_s \gamma)$ は
 $E_\gamma > 1.6 \text{ GeV}$ の値で議論される
ので外挿する。

→ $\text{BR}(B \rightarrow X_s \gamma) = (3.93 \pm 0.17) \times 10^{-4}$
($E_\gamma > 1.6 \text{ GeV}$)

▶ 世界平均と $+1.2\sigma$ で一致。

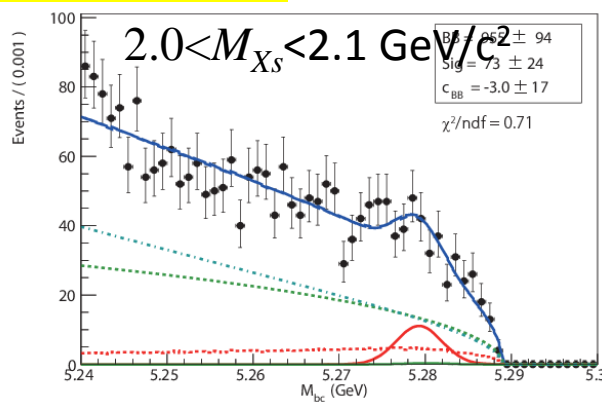
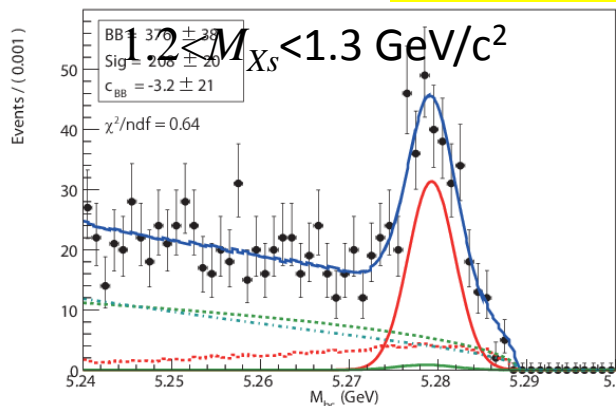


崩壊分岐比算出手法： M_{X_s} ビン毎に評価

● M_{X_s} ビン毎に評価: M_{X_s} で0.1 GeV刻みに分岐比を算出し、合計して全体の崩壊分岐比を得る。

→ M_{X_s} の形の誤差を避けることができる。

M_{bc} 分布(140 fb⁻¹)



- ▶ $BR(B \rightarrow X_s \gamma) = (3.00 \pm 0.38) \times 10^{-4}$
($M_{X_s} < 2.8$ GeV、統計誤差)
- ▶ $BR(B \rightarrow X_s \gamma) = (3.20 \pm 0.40) \times 10^{-4}$
($E_\gamma > 1.6$ GeV)
- ▶ 世界平均と -0.7σ で一致

M_{X_s} bin(GeV/c ²)	BR(10 ⁻⁶)
0.6-0.7	-0.1±0.2
0.7-0.8	-0.2±0.3
0.8-0.9	21.4±1.2
0.9-1.0	17.9±1.0
1.0-1.1	3.4±0.5
1.1-1.2	5.9±0.8
1.2-1.3	18.5±1.8
1.3-1.4	21.5±1.8
1.4-1.5	21.2±1.8
1.5-1.6	19.5±2.7
1.6-1.7	18.5±2.9
1.7-1.8	17.6±4.0
1.8-1.9	26.2±4.5
1.9-2.0	20.3±5.5
2.0-2.1	20.2±6.6
2.1-2.2	26.9±6.9
2.2-2.4	31.4±14
2.4-2.6	50.8±20
2.6-2.8	-41.0±26
Total	300±38

2つの算出手法の比較

● 2つの手法の比較

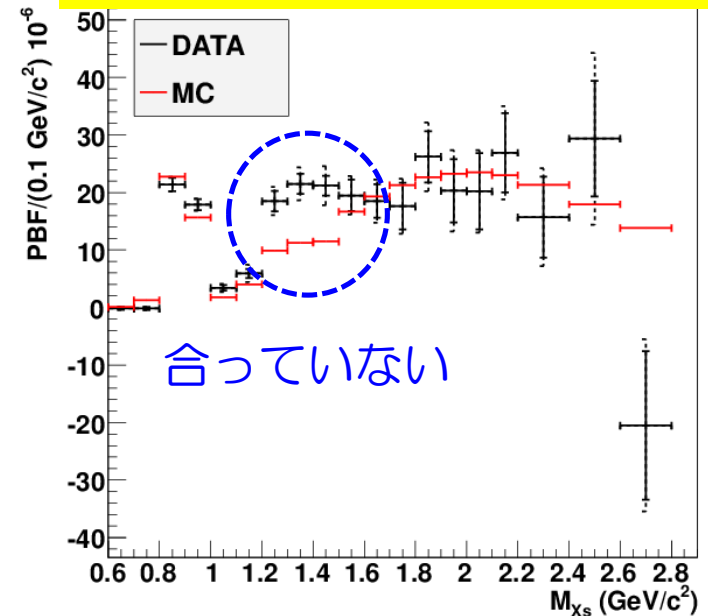
- ▶ M_{X_s} 領域全体で評価 : $(3.93 \pm 0.17) \times 10^{-4}$
 - ▶ M_{X_s} ビン毎に評価 : $(3.20 \pm 0.40) \times 10^{-4}$
- } 差は大きい

これらの手法の違いはMCの M_{X_s} 分布の形の情報を使うか否か。

● データとMCの M_{X_s} 分布の形の比較

- ▶ $1.2 < M_{X_s} < 1.5 \text{ GeV}/c^2$ で大きなずれ
 - ▶ M_{X_s} 分布をMCで再現するのは困難
- M_{X_s} ビン毎の評価を採用

データとMCの M_{X_s} 分布比較



全データ解析

- ハドロン化モデルの較正
 - 崩壊分岐比の算出
 - 系統誤差の評価
 - 最終結果と議論
-

ハドロン化モデルの較正(1/3)

- データとMCの各崩壊モードを比をチェックし、較正する。
 - ▶ MCの $K\pi$ 、 $K2\pi$ の比が大きすぎてている。
 - ▶ Pythiaのハドロン化モデルのパラメータを調節し較正。
 - ▶ 較正結果： $\chi^2 = 831 \rightarrow 52$
 - ▶ ずれが大きい終状態も見られる。

各終状態の比(%)	Full Data ($1.15 < M_{X_s} < 2.8$)	Default MC	較正 MC	Calibrated MC	データとの差 比の誤差
$K\pi$ without π^0	4.20 ± 0.25	10.3 (+17)	→	4.61 (+1.2)	
$K\pi$ with π^0	2.10 ± 0.13	5.42 (+19)		2.38 (+1.6)	
$K2\pi$ without π^0	14.5 ± 0.52	12.9 (-3.1)		15.7 (+2.4)	
$K2\pi$ with π^0	24.0 ± 0.74	15.2 (-12)		24.0 (-0.0)	
$K3\pi$ without π^0	8.34 ± 0.75	5.90 (-3.3)		4.58 (-5.0)	
$K3\pi$ with π^0	16.1 ± 1.76	15.7 (-0.2)		19.2 (+1.8)	
$K4\pi$	11.1 ± 2.80	12.3 (+0.4)		10.2 (-0.3)	
$K2\pi^0$ with at most two π	14.4 ± 3.47	14.4 (-0.0)		11.6 (-0.8)	
$K\eta$ with at most two π	3.18 ± 0.77	4.92 (+2.3)		5.35 (+2.8)	
$3K$ with at most one π	2.00 ± 0.30	2.98 (-3.3)		2.31 (-1.0)	

ハドロン化モデルの較正 (2/3)

● 各 M_{X_s} 領域でMCのハドロン化モデルをデータと比較

▶ 多くの終状態で 2σ を超える差がある。

→ Pythiaのパラメータによる微調整は困難。



▶ 2つ目の較正を適用

各終状態の比(%)

1.15 < M_{X_s} < 1.5 GeV/c ²			1.5 < M_{X_s} < 2.0 GeV/c ²		
Mode	Data	MC	Mode	Data	MC
1	9.51±1.42	14.5 (+6.4)	1	2.39±0.35	2.91 (+1.5)
2	5.32±0.31	7.50 (+7.1)	2	1.19±0.18	1.49 (+1.7)
3	25.7±0.82	21.6 (-5.0)	3	13.6±0.76	15.0 (+1.9)
4	44.8±1.51	36.5 (-5.5)	4	19.7±1.06	22.0 (+2.2)
5	0.91±0.52	0.95 (+0.1)	5	11.3±0.94	6.58 (-5.0)
6	8.06±2.17	14.9 (+3.1)	6	21.7±2.39	23.7 (+0.8)
7	0.30±0.50	0.52 (+0.5)	7	8.80±2.70	12.2 (-1.2)
8	2.52±2.52	2.51 (+0.0)	8	14.7±2.08	8.20 (-3.1)
9	1.71±0.43	0.93 (-1.8)	9	5.00±1.27	5.78 (+0.6)
10	0.00±0.00	0.01 (+0.0)	10	1.64±0.24	1.29 (-1.5)
2.0 < M_{X_s} < 2.4 GeV/c ²			2.4 < M_{X_s} < 2.8 GeV/c ²		
Mode	Data	MC	Mode	Data	MC
1	1.21±0.64	1.15 (-0.1)	1	0.46±0.65	0.90 (+0.7)
2	0.60±0.32	0.60 (+0.0)	2	0.23±0.32	0.49 (+0.8)
3	7.06±1.37	9.64 (+1.9)	3	3.84±2.15	8.20 (+2.0)
4	8.93±2.63	13.9 (+1.9)	4	8.49±4.03	11.8 (+0.8)
5	12.1±2.53	8.33 (-1.5)	5	12.7±5.20	8.18 (-0.9)
6	16.1±5.65	22.6 (+1.1)	6	3.27±12.8	21.2 (+1.4)
7	28.0±9.10	16.5 (-1.3)	7	3.10±26.7	20.4 (-0.7)
8	15.5±15.5	18.5 (+0.4)	8	53.1±28.7	20.2 (-1.2)
9	6.82±3.69	6.16 (-0.2)	9	10.6±8.19	5.89 (-0.6)
10	3.61±1.10	1.42 (-2.0)	10	4.13±2.84	1.04 (-1.1)

直接較正

● 直接較正

- ▶ MCの各終状態の比を直接調整しハドロン化モデルを較正する。
- ▶ 較正には以下のScale factorを使用。

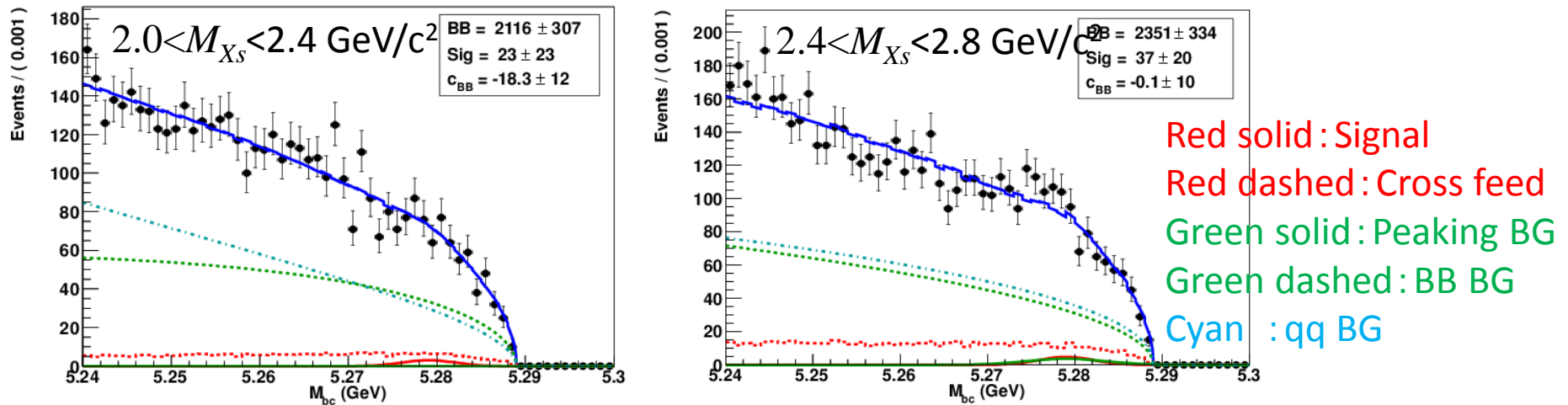
Mode	Scale factors (Data/MC)			
	1.15<MXs<1.5	1.5<MXs<2.0	2.0<MXs<2.4	2.4<MXs<2.8
$K\pi$ w/o π^0	0.66 ± 0.10	0.82 ± 0.12	1.05 ± 0.56	0.51 ± 0.72
$K\pi$ w/ π^0	0.71 ± 0.04	0.80 ± 0.12	1.00 ± 0.53	0.47 ± 0.65
$K2\pi$ w/o π^0	1.19 ± 0.04	0.91 ± 0.05	0.73 ± 0.14	0.47 ± 0.26
$K2\pi$ w/ π^0	1.23 ± 0.04	0.90 ± 0.05	0.64 ± 0.19	0.72 ± 0.34
$K3\pi$ w/o π^0	0.96 ± 0.55	1.72 ± 0.14	1.45 ± 0.30	1.55 ± 0.64
$K3\pi$ w/ π^0	0.54 ± 0.15	0.92 ± 0.10	0.71 ± 0.25	0.15 ± 0.6
$K4\pi$	0.58 ± 0.96	0.72 ± 0.22	1.70 ± 0.55	0.15 ± 1.3
$K2\pi^0$	1.00 ± 1.00	1.79 ± 0.25	0.84 ± 0.84	2.63 ± 14.2
$K\eta$	1.84 ± 0.46	0.87 ± 0.22	1.11 ± 0.60	1.80 ± 1.39
3K	0.00 ± 0.00	1.27 ± 0.19	2.54 ± 0.77	3.97 ± 2.73

- ▶ $M_{Xs} > 2.0$ GeVでの $K2\pi^0(\pi, 2\pi)$ の比の誤差が大きい。

2π⁰モードの較正

- データから得たK2π⁰(π, 2π)モードの比の精度をチェック。

M_{bc} of K2π⁰(π, 2π) modes

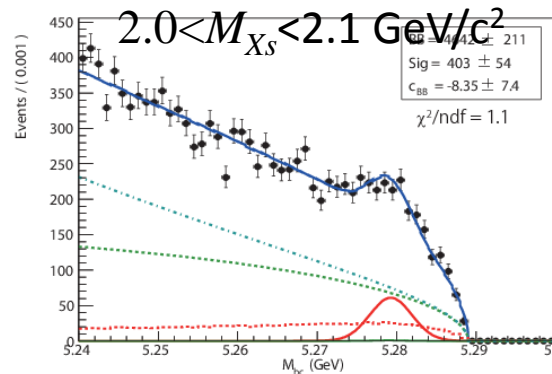
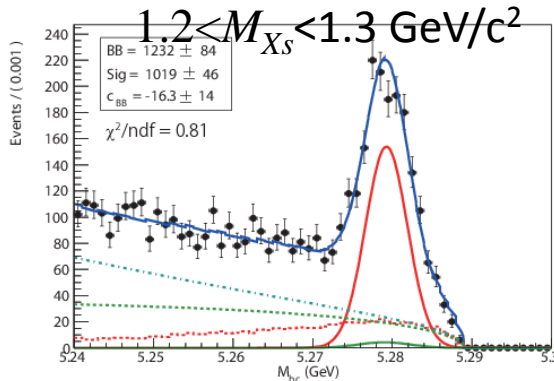


- ▶ $M_{X_S} > 2.0 \text{ GeV}$ で2π⁰モードの信号測定は困難。
 → 較正に使うべきではない。
- ▶ $M_{X_S} > 2.0 \text{ GeV}$ で2π⁰モードの比はMCを信じる。
- ▶ 系統誤差の評価では +100%-50% 比を変化させる。

崩壊分岐比

- M_{X_s} の各ビンをフィットし、信号数と較正後のMCより得た再構成効率から、崩壊分岐比を算出。

M_{bc} 分布(全データ)



- ▶ 統計誤差は $M_{X_s} > 2.2$ GeV が支配的。
- ▶ $BR(B \rightarrow X_s \gamma) = (3.51 \pm 0.17) \times 10^{-4}$
 ($M_{X_s} < 2.8$ GeV/c²、統計誤差のみ)

M_{X_s} の各ビンの分岐比

M_{X_s} bin (GeV/c ²)	$BR(10^{-6})$
0.6-0.7	-0.1 ± 0.1
0.7-0.8	0.3 ± 0.1
0.8-0.9	19.8 ± 0.5
0.9-1.0	15.7 ± 0.5
1.0-1.1	2.9 ± 0.3
1.1-1.2	4.8 ± 0.5
1.2-1.3	18.7 ± 0.8
1.3-1.4	21.8 ± 1.0
1.4-1.5	21.2 ± 1.0
1.5-1.6	22.0 ± 1.4
1.6-1.7	22.4 ± 1.1
1.7-1.8	24.8 ± 1.4
1.8-1.9	26.7 ± 2.2
1.9-2.0	26.3 ± 2.9
2.0-2.1	23.3 ± 3.1
2.1-2.2	21.0 ± 2.6
2.2-2.4	40.3 ± 7.2
2.4-2.6	27.9 ± 8.6
2.6-2.8	11.5 ± 11
Total	351 ± 17

X_s の崩壊モデル系統誤差

残りの系統誤差を見積もる。

● ハドロン化モデル

- ▶ 各モードの比を $\pm 1\sigma$ 、またはデータの比に合わせたときの結果の差を系統誤差とする。
- ▶ 系統誤差：6.7%

● 再構成していないモードの影響

- ▶ 再構成しているモード：76.4% ($1.15 < M_{X_s} < 2.8 \text{ GeV}/c^2$)
- ▶ ハドロン化モデルがデータから大きくずれない範囲でPythiaのパラメータを動かし、そのときの結果のずれを系統誤差とする。
- ▶ 系統誤差：1.6%

$B \rightarrow X_s \gamma$ の崩壊分岐比測定結果

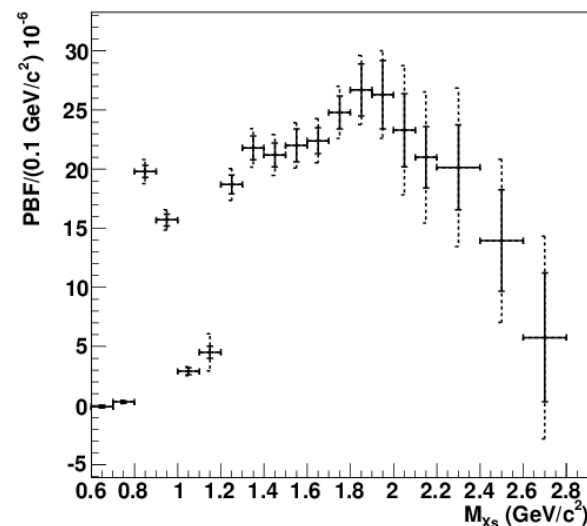
● 系統誤差も含めた最終結果を算出。

- ▶ 系統誤差はハドロン化モデルが支配的。
- ▶ $BR(B \rightarrow X_s \gamma) = (3.51 \pm 0.17 \pm 0.33) \times 10^{-4} (M_{X_s} < 2.8 \text{ GeV}/c^2)$
- ▶ $E_\gamma > 1.6 \text{ GeV}$ への外挿。
 $BR(B \rightarrow X_s \gamma) = (3.74 \pm 0.18 \pm 0.35) \times 10^{-4} (E_\gamma > 1.6 \text{ GeV})$

系統誤差の内訳

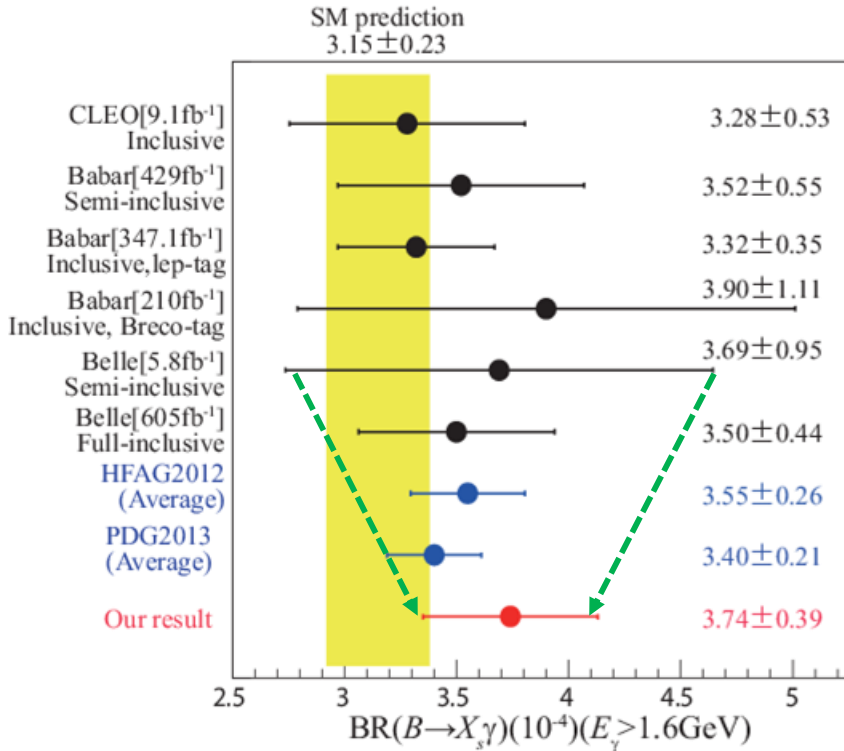
Source	Systematic uncertainty (%)
$B\bar{B}$ counting	1.37
Detector response	2.98
Background rejection	3.38
M_{bc} PDF	5.06
Hadronization model	6.66
Missing mode	1.59
Total	9.3

各 M_{X_s} ビンでの崩壊分岐比

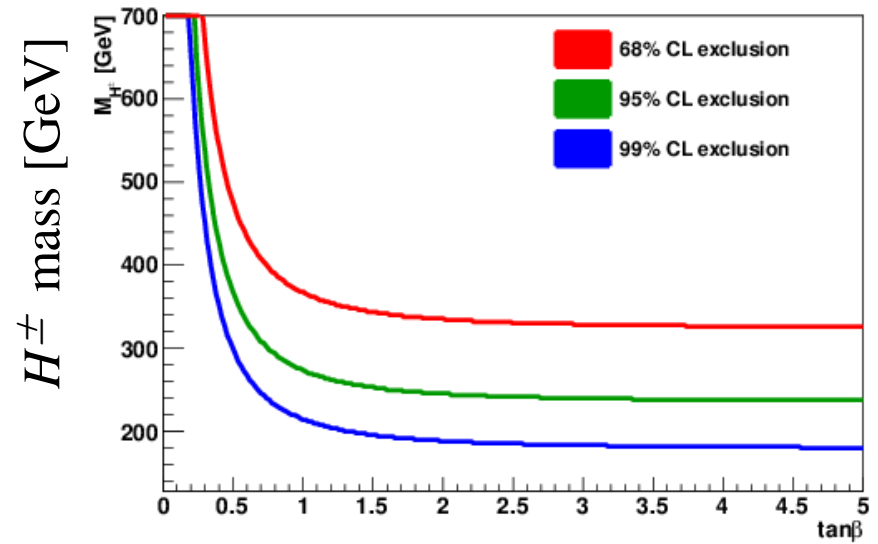


測定結果の考察

各測定結果やSMの予言との比較



本結果の2HDMへの制限



- ▶ 世界平均($(3.55 \pm 0.26) \times 10^{-4}$)とは 0.4σ で一致。
- ▶ 標準理論の予言($(3.15 \pm 0.23) \times 10^{-4}$)とは 1.3σ で一致。
- ▶ 本結果単独で2HDMで $M_{H^\pm} > 238 \text{ GeV}/c^2$ (95%CL)の制限を与える。

結論

- Belle実験の全データ 711fb^{-1} (7.72億 BB ペア)を用いて、準包括的再構成法を用いた $B \rightarrow X_s \gamma$ の崩壊分岐比測定を行った。
 - ▶ $BR(B \rightarrow X_s \gamma) = (3.74 \pm 0.18 \pm 0.35) \times 10^{-4}$ ($E_\gamma > 1.6 \text{ GeV}$)
- 世界平均とは 0.4σ で一致。
- 標準理論の予言とは 1.3σ で一致。
- 本結果は2HDMで $M_{H^\pm} > 238 \text{ GeV}/c^2$ (95%CL)の制限を与える。